

862

中国现代科学全书·化学

1279

# 分析化学

主编 汪尔康

编辑委员 黄本立 卢佩章 俞汝勤

撰稿人(以姓氏笔画为序)

方肇伦 卢佩章 许国旺 邹汉法

汪尔康 杨克原 肖红斌 何丽一

吴海龙 张祖训 张展霞 竺安

周同惠 郭小伟 俞汝勤 倪哲明

袁倚盛 徐淑坤 黄本立 梁逸曾

梁鑫森 彭荣飞



北京理工大学出版社

BEIJING INSTITUTE OF TECHNOLOGY PRESS

**图书在版编目(CIP)数据**

分析化学/汪尔康主编. —北京: 北京理工大学出版社, 2002. 9

(中国现代科学全书, 化学)

ISBN 7-81045-909-0

I. 分… II. 汪… III. 分析化学 N. 065

中国版本图书馆 CIP 数据核字(2002)第 046050 号

---

出版发行/北京理工大学出版社

社 址/北京市海淀区中关村南大街 5 号

邮 编/100081

电 话/(010)68914775(办公室) 68912824(发行部)

网 址/<http://www.bitpress.com.cn>

电子邮箱/[chiefedit@bitpress.com.cn](mailto:chiefedit@bitpress.com.cn)

经 销/全国各地新华书店

印 刷/北京房山先锋印刷厂

装 订/天津市武清区高村印装厂

开 本/880 毫米×1230 毫米 1/32

印 张/14.125

字 数/319 千字

版 次/2002 年 9 月第 1 版 2002 年 9 月第 1 次印刷

印 数/1—3000 册

定 价/22.00 元

责任校对/郑兴玉

责任印制/李绍英

# 目 录

<b>第一章 原子光谱分析</b> .....	( 1 )
第一节 概论.....	( 1 )
第二节 原子发射光谱分析法.....	( 4 )
第三节 原子吸收光谱分析法.....	( 26 )
第四节 原子荧光光谱分析法.....	( 57 )
第五节 流动注射光谱分析.....	( 80 )
第六节 元素质谱法.....	( 111 )
<b>第二章 电分析化学</b> .....	( 126 )
第一节 概论.....	( 126 )
第二节 电解分析法和库仑分析法.....	( 138 )
第三节 极谱分析法.....	( 142 )
第四节 伏安分析法.....	( 155 )
第五节 计时法.....	( 165 )
第六节 电位分析法.....	( 170 )
第七节 溶出分析法.....	( 174 )
第八节 化学修饰电极.....	( 179 )
第九节 光谱电化学及其他新方法.....	( 184 )
第十节 液/液界面电分析化学 .....	( 195 )
第十一节 质谱、色谱、毛细管电泳与电化学 在线联用法.....	( 196 )
第十二节 生物电分析化学.....	( 200 )
第十三节 电分析化学展望.....	( 214 )

<b>第三章 色谱分析分离</b>	.....	(215)
第一节 概论	.....	(215)
第二节 高效液相色谱法	.....	(224)
第三节 平面色谱法	.....	(249)
第四节 气相色谱法	.....	(255)
第五节 毛细管电泳	.....	(280)
第六节 色谱在医药学研究中的应用	.....	(300)
第七节 本章小结	.....	(307)
<b>第四章 化学计量学</b>	.....	(310)
第一节 分析化学发展的信息化趋势:化学 计量学诞生的背景与发展阶段	.....	(310)
第二节 化学量测的基础理论与方法学	.....	(314)
第三节 分析信息理论	.....	(318)
第四节 分析采样理论	.....	(319)
第五节 化学试验设计与优化	.....	(320)
第六节 分析检测理论与分析信号处理	.....	(323)
第七节 分析数据的校正与分辨	.....	(326)
第八节 化学计量学方法的稳健化	.....	(330)
第九节 化学模式识别	.....	(332)
第十节 化学构效关系的研究	.....	(337)
第十一节 计算机数字模拟法	.....	(341)
第十二节 人工智能与化学专家系统	.....	(343)
第十三节 化学计量学与其他化学分支学科的 关系及发展趋势	.....	(345)
第十四节 化学计量学教学及其他	.....	(347)
<b>参考文献</b>	.....	(350)

# 第一章 原子光谱分析

## 第一节 概 论

**原子光谱分析**(analytical atomic spectroscopy, 或 atomic spectroscopic analysis), 是**光谱分析**(spectral analysis, analytical spectroscopy 或 spectroscopic analysis) 的重要组成部分。它包括原子发射、原子吸收和原子荧光光谱三个分支。事实上, 在 20 世纪 30—50 年代一些专著<sup>[1]~[3]</sup>和文献中的“光谱分析”或“**光谱化学分析**”(spectrochmical analysis), 指的是**原子发射光谱分析**。60 年代原子吸收和原子荧光光谱登上舞台后, 这个词指的也主要是**原子光谱分析**, 至今还有人沿用<sup>[4]</sup>。20 世纪 70—80 年代直流和电感耦合等离子体质谱仪以及辉光放电质谱仪先后出现, 由于它们主要是用来测定样品中的元素含量的, 所以该法常被称为**元素质谱法**(elemental mass spectrometry), 以区别于用以测定有机物的“**有机质谱法**”。由于元素质谱法所用的主要离子源(直流和电感耦合等离子体以及辉光放电), 都是从原子发射光谱法的激发光源中“借”过来的, 许多进样技术也是这样。这就使得元素质谱法和原子光谱法有不少“共同语言”, 甚至可以说是有一定的“血缘关系”。因此, 光谱分析家往往把它们拉到一起:一起开会,一起上书,等等。这就是我们要把元素质谱法拉到“原子光谱分析”这一章里来的原因。至于**光谱化学分析**一词, 严格地说, 它应该指的是用光谱这个学科来分析样品的化学成分或测定某些组分, 它应该包括原子和分子光谱、X

射线谱、波谱、能谱和质谱等等方法的所有分支。它当然是分析化学或分析科学中的一个重要的组成部分。在这一章中, 我们主要讨论原子光谱分析。关于原子光谱分析早期的发展史, 过去一般是从牛顿发现了光的色散(于 1672 年在 Royal Society 发表了他的著名的棱镜实验)说起<sup>[5]</sup>, 然后是 Fraunhofer 制造了第一台分光镜和观察到太阳光谱中的暗线(1817)……Kirchhoff 和 Bunsen 解释了暗线的成因并奠定了现代光谱分析的基础(1859, 1860)等等。

事实上, 布拉格查尔斯大学教授 Johannes Marcus Marci (1595—1667) 于 1648 年就在他的书中记载了他使光束通过棱镜观察到彩虹般的颜色的研究, 比牛顿早 20 多年。捷克共和国成立后, 捷克斯洛伐克光谱学会改名为 Johannes Marcus Marci 光谱学会<sup>[6]</sup>。其实, 在 Marci 和牛顿之前, 早就已经有了焰色试验(fame test), 其原理和原子发射光谱定性分析是一样的, 可以说是它的雏形; 正常人(色盲者除外)的眼睛事实上就是一种可以粗略地辨别火焰颜色的“生物分光器”。在西方的文献中, 谈到焰色试验时常常会提到德国人 Marggraf (1709—1782) 于 1758 年用焰色来分别苏打( $\text{Na}_2\text{CO}_3$ )和锅灰碱 ( $\text{K}_2\text{CO}_3$ )。但是早在我国萧梁时期(6 世纪), 医药学家陶弘景就懂得用焰色试验, 他指出, 真硝石 ( $\text{KNO}_3$ )“烧之紫青烟起”(钾的灵敏线 K 766.5 nm, K 769.9 nm, 深暗红色), 借此可与芒硝 ( $\text{Na}_2\text{SO}_4 \cdot \text{H}_2\text{O}$ )相区别(钠的灵敏线 Na 589.0 nm, Na 589.6 nm, 黄色)。唐垂拱(武则天执政时的年号之一, 685—689)年间, 方士唐诜(一曰孟诜)亦曾根据铜会使火焰呈绿色(铜在可视谱域中有 510.6, 515.3, 521.8 nm 等几根灵敏线)(“五色烟”)以区别炼丹家们的药金(铜合金)与真黄金, 指出他那位拿药金来的朋友受骗上当了。他们都比 Marggraf 早 1000 多年。在此, 多谢赵匡

华教授<sup>[7]</sup>给我们找出这些宝贵史料,证明我们的祖先对光谱分析早就有过贡献。至于始于宋代的基于不同物质燃烧时产生不同焰色的事实制成的烟火(亦作焰火),则恐怕至今还是我国人民对焰色法最喜爱、最广泛的应用。

后来,现代光谱分析法是以“舶来品”的面貌进入我国的。我国原子光谱分析的研究与应用的早期报道有:戴安邦<sup>[8]</sup>改进了用分光镜观察金属在火焰中的光谱的进样方法,张定钊<sup>[9]</sup>用电弧光谱法做了矿石定性分析和半定量分析。他还制作了一种配合幻灯机作定性分析用的光谱图。建国前葛庭燧、江安才等在国外从事过原子光谱分析。解放前后赵广增、张志三、何怡贞等都曾研究过原子光谱分析。葛庭燧、江安才、赵广增、张志三、何怡贞等教授都是物理学家。从以上史实中我们得到一些启发:光谱分析是一种用物理学的技术来进行化学分析,它是物理学和化学的融合。物理学家 Kirchhoff 和化学家 Bunsen 的通力合作奠定了现代光谱分析的基础的故事并不是偶然产生的,而是有其必然性的。

建国后由于国民经济各部门发展的需要,光谱分析得到了迅速发展,本章以后各节中将会介绍。我们在这里想作一些补充:赵广增和何怡贞于 1956 年应邀参加了第六届国际光谱会议(CSI VI),这是我国学者第一次应邀参加 CSI。1980 年中国光谱学会(筹)成立,国内第一种光谱期刊《光谱学与光谱分析》创刊。1988 年中国科学院长春应用化学研究所培养的我国第一位以原子光谱分析为研究方向的理学博士通过答辩获得学位;1988 年至 1989 年初厦门大学化学系博士后流动研究站接受了国内第一批以原子光谱分析为研究方向的国外归来的博士后进站。

本章所涉及的内容广泛,分由各方面的专家撰写,最后由本

节作者汇总。由于汇总者水平有限,错误或不妥之处在所难免,还望读者不吝赐教,并望作者原谅。

(厦门大学化学系 黄本立)

## 第二节 原子发射光谱分析法

原子发射光谱分析法 (atomic emission spectroscopy, AES), 是根据试样中不同原子或离子在热激发或电激发下发射特征的电磁辐射而进行元素的定性和定量分析的方法。AES 已有 100 多年的历史。早在 1859 年德国学者基尔霍夫 (Kirchhoff) 和本生 (Bunsen) 合作, 制造了第一台用于光谱分析的分光镜, 并用本生灯为光源, 系统地研究了一些元素的光谱与原子性质的关系, 从而奠定了发射光谱定性分析基础。以后的 30 年中, 通过先后发现了铷 (Rb) 和铯 (Cs)、稀散元素、稀有气体和稀土元素等, 逐渐确立了发射光谱定性分析法。1925 年格拉赫 (Gerlach) 提出了内标原理, 奠定了发射光谱定量分析基础。1930 年, 罗马金 (Lomakin) 和赛伯 (Scheibe) 通过实验方法建立了谱线强度 ( $i$ ) 与分析物浓度 ( $c$ ) 之间的经验式——赛伯-罗马金公式, 从而建立了发射光谱定量分析法。

AES 之所以获得成功主要是由于其广用性和多元素检测能力。20 世纪 40 年代以来, 随着光学、电子学和计算机的迅速发展, 光谱仪器日新月异, 各种不同类型的新光源及检测器的出现, 使 AES 获得了迅速发展。至今它已成为无机元素分析的最强有力的手段之一。

AES 主要特点:

- ① 广用性。不论气体、固体和液体样品都可以直接激发。

可对各种不同类型样品(气体、固体和液体)中70多种元素(金属元素及P、S、N、F、Cl、Br等非金属元素)进行分析。

② 多元素检测能力。样品一经激发后,由于样品中不同元素都同时发射特征光谱,可作定性和定量分析。若利用光电直读光谱仪或现代新型固态检测器件光谱仪,就可在几分钟内同时对几十种元素进行定量分析。

③ 选择性好。每种元素因原子结构不同而发射各自不同的特征光谱,例如用其他分析方法难以分析的稀土元素,AES则可以分别加以测定。

④ 检出限低。一般光源可达 $0.1\sim 10\mu\text{g/g}$ (或 $\mu\text{g/mL}$ ),绝对值可达 $0.01\sim 1\mu\text{g/g}$ 。电感耦合等离子体(ICP)光源检出限可达 $\text{ng/mL}$ 级。

⑤ 准确度较高。经典光源相对误差为 $5\%\sim 10\%$ , ICP 相对误差低于 $1\%$ 。

⑥ 试样消耗较少。

⑦ 校正曲线线性范围与所采用的光源及检测方法有关。经典光源由于容易产生自吸现象,校正曲线线性范围只有 $1\sim 2$ 个数量级。ICP 光源校正曲线线性范围可达 $4\sim 6$ 个数量级。

## 一、基本原理

### 1. 原子发射光谱的产生

原子光谱是由原子外层电子在能级间跃迁产生的。在通常情况下,原子处于基态,在激发光源作用下,原子获得足够的能量,外层电子由基态跃迁到较高的能量状态,即激发态。处于激发态的原子是不稳定的,外层电子会从高能级跃迁到低能级或基态,多余的能量就以电磁辐射的形式发射出去。因此原子发射光谱是线状光谱。谱线波长与能量的关系如下:

$$\lambda = \frac{hc}{E_2 - E_1} \quad (1.2.1)$$

式中： $E_2$  和  $E_1$  分别为高能级和低能级的能量； $\lambda$  为波长， $h$  为 Planck 常数； $c$  为光速。原子光谱中每一条谱线的产生各有其相应的激发电位，即基态激发到高能态所需要的能量。共振线具有最小的激发电位，它是由第一激发态向基态跃迁所发射的谱线，一般是灵敏线。当原子继续获得更高的能量时就发生电离，电离所必需的能量称为电离电位。原子失去一个电子称为一次电离，再失去一个电子称为二次电离，依此类推。离子的外层电子跃迁也发射光谱。中性原子所发射的谱线波长用在元素符号后加 I 表示，如 Mg I 285.213 nm；一次电离的离子所发射的谱线用元素符号后加 II 表示，如 Mg II 279.553 nm；依此类推。但由于原子和离子具有不同的能级，所以它们的发射光谱是不一样的。由于篇幅所限，有关元素的能级与能级图请参考有关物理学书籍<sup>[10]</sup>。

由于各种元素的原子结构不同，在光源的激发作用下，试样中每种元素都发射自己的特征光谱，这是 AES 定性分析基础。每种元素发射的特征谱线有多有少，多的可达几千条。当进行定性分析时，不需要将所有的谱线全部检出，只须检出几条不受干扰的最灵敏的谱线或是当该元素在样品中含量减少直至只剩最后才消失的谱线 (raies ultimes) 就可以了。

## 2. 谱线强度

原子由某一激发态  $i$  向基态或较低能级跃迁发射的谱线强度，与激发态原子数成正比。在激发光源温度一定，处于热力学平衡状态下，单位体积基态原子数  $N_0$  与激发态原子数  $N_i$  之间遵守玻尔兹曼 (Boltzmann) 分布定律：

$$N_i = N_0 \frac{g_i}{g_0} \exp(-E_i/kT) \quad (1.2.2)$$

式中： $g_i, g_0$  为激发态与基态的统计权重； $E_i$  为激发电位； $k$  为 Boltzmann 常数； $T$  为激发温度。原子的外层电子在  $i, j$  两个能级之间跃迁，其发射谱线强度  $I_{ij}$  为：

$$I_{ij} = N_i A_{ij} h \nu_{ij} \quad (1.2.3)$$

式中： $A_{ij}$  为两个能级间的跃迁几率； $h$  为 Planck 常数； $\nu_{ij}$  为谱线发射频率。

将(1.2.2)式子代入(1.2.3)式：

$$I_{ij} = \frac{g_i}{g_0} A_{ij} h \nu_{ij} N_0 \exp(-E_i/kT) \quad (1.2.4)$$

由上式可见，谱线强度与  $g_i/g_0$ 、跃迁几率、基态原子数成正比，与激发电位成负指数关系。谱线强度与激发温度虽有正比关系，但当某一温度足以使原子电离时，原子谱线强度将降低。因此不同谱线各有其最合适的原子激发温度。在一定条件下，基态原子数与试样中该元素浓度成正比，因此，在一定的实验条件下，谱线强度与被测元素浓度( $c$ )成正比，这是 AES 定量分析的基础。

对某一谱线来说， $g_i/g_0$ 、跃迁几率、激发电位均是恒定值。因此，当温度一定时，该谱线强度  $I$  与被测元素浓度  $c$  成正比，即

$$I = ac$$

式中  $a$  为比例常数。

当考虑到谱线自吸时，上式可表达如下：

$$I = ac^b \quad (1.2.5)$$

式中  $b$  为自吸系数(自吸是指该原子在高温发射某一波长的辐射被处在边缘低温状态的同种原子所吸收的现象。 $b$  值随被测元素浓度增加而减少，当元素浓度很小而无自吸时， $b = 1$ )。式(1.2.5)是 AES 定量分析基本关系式，一般称为赛伯(Scheibe)

-罗马金(Lomakin)公式。

## 二、AES 仪器

AES 所用的仪器装置主要由激发光源、光谱仪器、检测系统和进样系统组成。20世纪30年代以来,这些组成随着光学、物理学、电子学和计算机的发展而迅速发展,从而也推动了AES 的发展。下面分别叙述之。

### 1. 激发光源

激发光源的主要任务是提供给样品足够能量,使其去溶、蒸发、原子化并激发发光。光源的特性在很大程度上影响着 AES 的准确度、精密度和检出限。目前 AES 常用的激发光源有火焰、电弧、火花、等离子体光源和辉光放电。

#### (1) 火焰

火焰是用于 AES 的最古老的激发光源。最常用的为空气-乙炔火焰。由于其温度比较低(2 500 K),激发能力差,只能激发电离电位较低的元素,如碱金属和碱土金属。利用空气-乙炔火焰时,碱金属和碱土金属的检出限在 0.000 1~0.002 mg/mL 范围,而其他电离电位较高的元素的检出限就较高,如 In、Bi、Zn 等分别为 0.2 mg/mL、2 mg/mL、50 mg/mL。利用温度比较高的氧化亚氮-乙炔火焰时,各元素的检出限有所降低,但由于易爆炸,操作不安全,其应用受到了限制。

#### (2) 电弧

电弧按照所用的电源类别可分为直流电弧和交流电弧。

电弧是一个在两个或多个电极间高电流密度和低压燃烧的放电。直流电弧的装置主要由电压为 220~380 V 的直流电源、电感、镇流电阻和由两个或多个电极组成的分析间隙组成。当施加直流电压于电极(最常用为石墨电极)上时,利用高频引燃产

生电弧后，两电极间的电压降为 50 V 左右，电流可在 2~30 A 范围调节。电弧的形状与电极形状和间隙、功率以及样品的组成有关。电弧温度约为 4 000~7 000 K，它取决于弧柱中元素的电离电位和浓度。直流电弧的优点是设备简单。由于持续放电电极头温度高、蒸发能力强、试样进入放电间隙的量多，故绝对灵敏度高，适用于定性分析以及难熔元素的定量分析。缺点是电弧不稳定、易漂移，因此重现性较差，弧柱较粗，自吸现象较严重。此外电弧温度取决于弧柱中元素的电离电位和浓度，基体效应比较严重。

交流电弧的装置主要由电压为 220 V 的交流电源、电感、可变电阻、由两个电极组成的分析间隙以及高频引燃电路组成。当施加交流电压于电极上时，利用高频引燃便可产生低压交流电弧。与直流电弧不同，其电极间隙需要周期性地点燃，低压交流电弧才能持续放电。因此必须要有引燃装置。

低压交流电弧的特点是具有脉冲性，电流密度比直流电弧大，因此电弧温度高，激发能力强；由于电弧稳定性好，分析的重现性和精密度比较好，适用于定量分析。缺点是由于交流电弧放电有间隙性，电极温度不如直流电弧电极温度高，蒸发样品能力稍差。

### (3) 火花

火花一般指高压火花，火花发生器的装置主要由电压为 220V 的交流电源、高压变压器（可升至 8 000~12 000 V 高压）、电容、电感、可变电阻以及由两个电极（现代火花光源中待分析金属样品一般作上电极，金属钨或银棒作下电极）组成的分析间隙构成。在大气压下，当施加于两电极间的高电压达到分析间隙击穿电压时便产生火花。实际上，高压火花放电是一种电容放电过程，具有强大的电流脉冲。放电电流密度高达  $10^6 \sim 10^8$

A/cm<sup>2</sup>, 放电温度可达 10 000 K 以上。虽然如此, 由于放电持续时间只有几微妙, 且每个火花作用在电极上的面积很小, 直径只有 0.2 mm 左右, 因此电极头温度只有 1 500 °C 左右。现代的火花发生器都具有稳定间隙控制或旋转间隙控制等控制电路。因此有很好的稳定性, 适合于作定量分析。由于火花光源具有很强的激发能力, 大多数谱线为离子线, 一些难激发的元素可被激发。火花的缺点是灵敏度低, 且样品在做定量分析时需要有预燃时间。

#### (4) 等离子体光源

等离子体是由大量自由电子和离子组成, 并且在整体上表现为近似中性的电离气体。根据用于产生及维持等离子体的电场类别, 等离子体光源可分类为:

① 直流等离子体(DCP)。它是由于施加直流电场于电极间而获得。实质上它是一种气体压缩的大电流直流电弧放电, 因此具有上面所提到的电弧的优缺点。

② 微波等离子体(MWP)。它是由于施加微波场(一般为 2 450 MHz)于谐振腔时获得。用于原子发射光谱分析的 MWP 可分为电容耦合等离子体(CMP)、微波诱导等离子体(MIP)、微波等离子体炬(MPT)。后者是由金钦汉等于 1985 年<sup>[11]</sup>提出, 是一种新型的类似于 ICP 炬管的微波等离子炬管。MWP 最大的特点是由于其激发能力高, 非金属元素的检出限比其他光源都要低。

③ 电感耦合等离子体(ICP)。它是通过负载线圈施加高频场时获得。由于 ICP 具有独特的性质, 它是目前应用得最为广泛的等离子体光源。以下重点介绍 ICP 光源。

ICP 光源是指高频电能通过感应线圈耦合到等离子体所得到的外观上类似火焰的高频放电光源。它是 Fassel<sup>[12]</sup> 和 Green-

field<sup>[13]</sup>在 Reed 的等离子炬基础上于 20 世纪 60 年代中期提出的一种适用于 AES 的高能量激发光源。它是一种有效的蒸发-原子化-激发-电离器。因此它能够简单而有效地将样品气溶胶转变为自由原子、激发态原子、离子、激发态离子、分子离子及分子碎片。一旦生成了这些物种，便可通过它们的发射、吸收、荧光、质谱等向分析工作者提供大量的信息。

形成稳定的 ICP 必须具备三个基本条件：高频发生器（频率一般为 27 MHz 或 40 MHz）、工作气体（一般为氩（Ar）气）及能维持气体稳定放电的三层同心的石英炬管。图 1-1 是 ICP 形成的示意图。从图可见，用以冷却石英炬管的氩气沿切线方向进入最外层石英炬管，用以点燃 ICP 的辅助气体氩气通入中层管；作为载气的氩气通入中心管，把经过雾化器的试样溶液以气溶胶形式引入 ICP。

当感应线圈中有高频电流通过时，周围空间产生高频电磁场，磁力线为椭圆闭合曲线，在炬管内是轴向的。仅有高频电磁场产生还不能形成等离子体，需用 Tesla 线圈引发火花放电使少量氩气电离，产生电子和离子“种子”。这些带有电荷的“种子”会被电磁场加速，在炬管内沿闭合电路流动，形成涡流。由于涡流的热效应，气体温度上升，更多的气体被电离。此时，感应线圈就像一个高频变压器的初级线圈，等离子体相当于只有一匝的短路次级。高频能量通过感应线圈耦合给等离子体，形成可自持的等离子体。由于高频电流的趋肤效应和载气冲击双重作用的结果，ICP 炬具有环状结构形状，其重要特征是中心通道内电流密度几乎为零，样品气溶胶能通过此通道顺利地到达等离

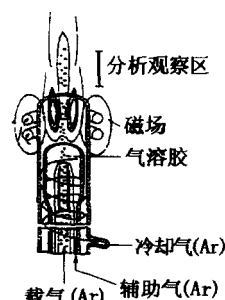


图 1-1 ICP 形成的示意图

子体中。环状结构是 ICP 具有优良分析性能的根本原因。

ICP 光源具有以下优点：

① 检出限低。ICP 是一个十分有效的蒸发、原子化、激发和电离源。ICP 气体温度可高达 7 000~8 000 K, 加上样品气溶胶在等离子体中心通道停留时间可长达 2~3 ms, 因此各类元素的检出限, 一般在  $10^{-5} \sim 10^{-1} \mu\text{g/mL}$  范围。可测定 70 多种元素。

② 基体效应较小。由于 ICP 的环状结构, 中心通道内电流密度很低, 此外电子密度较高, 所形成的自由原子又处于惰性氩气体中, 因此整个 ICP 放电性质一般不会随基体而发生明显变化。

③ 自吸收效应小。ICP 为一光学稀薄光源, 加上中心通道的温度比外层低, 自吸收效应比电弧减弱很多。因此分析校正曲线动态范围可达 4~5 个数量级。

④ ICP 稳定性好。分析的精密度较高, 相对标准偏差约为 1%。

⑤ 无电极污染。

ICP 作为 AES 的光源主要缺点是光谱干扰(指背景及谱线重叠干扰)比较严重。这是由于 ICP 具有很强的激发能力, 绝大多数元素辐射丰富的原子与离子谱线。加上分子辐射、电子-离子复合辐射、杂散光等引起的连续辐射构成的背景干扰。

光谱干扰一直是 ICP - AES 实际应用的最大障碍。经过学者们的努力, 对校正 ICP 光谱干扰已经有了一些行之有效的方法。背景干扰的校正方法有空白背景校正法和动态背景校正法; 谱线重叠的校正方法有: 强度差法、对照线法、干扰系数法以及化学计量学法。

随着计算机和应用数学的发展, 利用化学计量学进行谱线

干扰校正的方法日益增多,如多元线性回归、自适应滤波法、卡尔曼滤波法、广义标准加入法<sup>[14]</sup>、<sup>[15]</sup>以及多成分光谱拟合法等<sup>[16]</sup>。

有关 ICP - AES 详细报道可看参考文献[17]。

### (5) 辉光放电光源

辉光放电光源(GDL)是一种低气压光源,它是当玻璃管内气压<100 kPa,两端电极的电压达到击穿电压时,所产生的自持放电(见图 1-2)。待分析样品一般作阴极。放电时样品通过原子和离子的轰击而被溅射,称为阴极溅射。在阴极附近可以获得辉光放电,其大小及强度与电流强度有关。GDL 有多种类型,如空心阴极灯、盖世勒(Geissler)灯(主要是用以观察气体锐线光谱)。在 20 世纪 60 年代后期,格林姆(Grimm)设计了一种可容易插入光源的样品平面阴极,大大增强了阴极溅射作用,使更多的电极物质进入放电区。这一放电方法的改进,大大增强了这种光源在光谱分析中的实用性。格林姆辉光放电光源的主要特点是发光稳定性高因而分析精密度好;能分层均匀溅射取样,可做表层、逐层分析<sup>[18]</sup>。近年来,各种高强度的 GDL 不断涌现<sup>[19]</sup>:磁场 GDL、射频 GDL、微波 GDL 以及同轴空心阴极 GDL,特别是射频 GDL(RF - GD)的出现,大大降低了分析检出限,可分析金属和非金属样品,如玻璃和陶瓷材料等。大多数元素的检出限达几十 ng/mL,而精密度小于 0.1%。RF - GDL 的另一个优点是,基体元素的原子化和激发不灵敏,基体效应比火花光谱分析小。可以预见 GDL 将有广阔的前途。

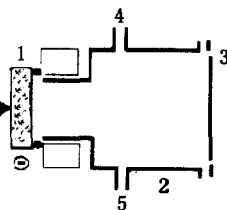


图 1-2 格林姆式辉光放电灯示意图

1—样品;2—放电池;3—石英窗;4—载气入口;5—抽气口